

05,11

Магнитные фазы и неоднородные микромагнитные структуры в феррит-гранатовой пленке с ориентацией (210)

© Р.М. Вахитов, Р.Р. Исхакова, А.Р. Юмагузин

Физико-технический институт, Башкирский государственный университет, Уфа, Россия

E-mail: VakhitovRM@Yahoo.com

(Поступила в Редакцию 15 сентября 2017 г.)

Теоретически исследуются возможные магнитные состояния кубического ферромагнетика с наведенной вдоль направления [210] одноосной анизотропией. Показано, что ориентационная фазовая диаграмма магнетика является нетривиальной и допускает существование трех типов магнитных фаз, различающихся трансформационными свойствами, а также наличие пятерных точек, изоструктурных фазовых переходов и т.д. Установлено, что магнитные неоднородности независимо от значений параметров материала имеют общую структуру — они соответствуют 180-градусным доменным границам с некруговой траекторией вектора намагниченности. Найденные особенности однородных и неоднородных магнитных состояний в данных материалах позволяют объяснить характер проявления в них флексомагнитоэлектрического эффекта.

Работа выполнена при поддержке РФФИ (грант № 16-02-00336).

DOI: 10.21883/FTT.2018.05.45788.327

1. Введение

Синтезированные около 30 лет назад феррит-гранатовые пленки с ориентацией (210) зарекомендовали себя в процессе их изучения как перспективные многофункциональные материалы, которые могут быть использованы и в устройствах магнитной записи [1], и в высокочувствительных датчиках для визуализации малых неоднородных полей [2] и т.д. В то же время после обнаружения в этих пленках гигантского магнитоэлектрического (МЭ) эффекта при комнатных температурах [3] о них заговорили как о магнитоэлектрических материалах. Кроме того, в последующих исследованиях в них был открыт новый сильный МЭ эффект, который заключался в смещении доменных границ (ДГ) под действием внешнего электрического поля [4]. Интересной особенностью наблюдаемого эффекта явилось его зависимость от ориентации пленки: в пленках ферритов-гранатов с ориентацией (210) МЭ эффект проявлялся наиболее сильно, в пленках с ориентацией (011) — более слабо, а в пленках с ориентацией (111) МЭ эффект вообще не наблюдался. В литературе было предложено два возможных объяснения наблюдаемого явления. Первое — это МЭ эффект, который обусловлен наличием неоднородного магнитоэлектрического взаимодействия в рассматриваемых материалах [4]. Согласно [5], данный механизм проявляется лишь в том случае, когда существующие в них ДГ имеют неблоховскую структуру. Второе — эффект определяется условиями проведения эксперимента и особенностями ориентационной фазовой диаграммы (ОФД) изучаемой пленки [6]. Таким образом, из сказанного следует, что для объяснения результатов [4] необходимо провести анализ однородных и неоднородных магнитных состояний, возможных в пленке

типа (210) ферритов-гранатов, т.к. подобные исследования в них до сих пор не проводились (за исключением работы [6], где приведен анализ ОФД пленки типа (210) в пренебрежении вкладом кубической анизотропии).

2. Однородные магнитные состояния пластины (210) с комбинированной анизотропией

Вначале изучим равновесные направления вектора намагниченности \mathbf{M} в кубическом ферромагнетике с наведенной вдоль оси [210] одноосной анизотропией. Будем считать, что образец представляет собой однородно намагниченную пластину конечной толщины. Систему координат выбираем так, что ось Oz перпендикулярна плоскости пластины и совпадает с направлением [210], ось Ox параллельна направлению $[\bar{1}20]$, а Oy — направлению [001]. Тогда плотность энергии однородных состояний магнетика ϵ_{ma} , включающая плотности энергий наведенной одноосной и кубической анизотропий, а также плотность энергии размагничивающих полей пластины, запишется в виде

$$\begin{aligned} \epsilon_{ma} = & K_u \sin^2 \theta + K_p \sin^2 \theta \cos^2 \varphi - \frac{3}{2} K_p \sin \theta \cos \theta \cos \varphi \\ & + \frac{K_1}{25} \left(25 \sin^4 \theta \sin^2 \varphi \cos^2 \varphi + 25 \sin^2 \theta \cos^2 \theta \sin^2 \varphi \right. \\ & + 4 \sin^4 \theta \cos^4 \varphi + 4 \cos^4 \theta + \sin^2 \theta \cos^2 \theta \cos^2 \varphi \\ & \left. + 12 \sin \theta \cos^3 \theta \cos \varphi - 12 \sin^3 \theta \cos \theta \cos^3 \varphi \right), \quad (1) \end{aligned}$$

где θ и φ — полярный и азимутальный углы вектора \mathbf{M} , K_u , K_p — константы, соответственно перпендикуляр-

ной и ромбической компонент наведенной одноосной анизотропии [6], K_1 — первая константа кубической анизотропии. Здесь учитывается, что в величину константы K_u вносят вклад и размагничивающие поля пластины: $K_u = K'_u - 2\pi M_s^2$, где M_s — намагниченность насыщения.

Однородные магнитные состояния рассматриваемого магнетика находятся из минимума (1), т. е. из следующих уравнений:

$$\frac{\partial \varepsilon}{\partial \theta} = 0, \quad \frac{\partial \varepsilon}{\partial \varphi} = 0 \quad (2)$$

при выполнении условий

$$\frac{\partial^2 \varepsilon}{\partial \theta^2} > 0, \quad \frac{\partial^2 \varepsilon}{\partial \varphi^2} > 0, \quad \frac{\partial^2 \varepsilon}{\partial \theta^2} \frac{\partial^2 \varepsilon}{\partial \varphi^2} - \left(\frac{\partial^2 \varepsilon}{\partial \theta \partial \varphi} \right)^2 > 0. \quad (3)$$

Из анализа полученных соотношений для случая $K_1 = 0$ следует, что в рассматриваемом магнетике возможно существование трех типов магнитных фаз; их обозначения, ориентации и области существования имеют вид [7]:

1. $\theta = \pi/2$, $\varphi = \pi/2, 3\pi/2$; $\mathbf{M} \parallel [001], [00\bar{1}]$ — симметричная фаза $P_{[001]}$. Область ее существования определяется соотношениями: $K_p > 0$, $K_u < -\frac{9}{16} K_p$.

2. $\theta = \theta_0$, $\varphi = 0$ и $\theta = \pi - \theta_0$, $\varphi = \pi$; $\mathbf{M} \parallel [uv0]$ — угловая фаза $P_{[uv0]}$. Область ее устойчивости — $K_u < 0 \cup K_p > 0$, $K_u > -\frac{9}{16} K_p$. Здесь

$$\theta_0 = \arctg \left\{ \left[\sqrt{4(K_u + K_p)^2 + 9K_p^2} - 2(K_u + K_p) \right] / 3K_p \right\}.$$

3. Третье возможное состояние магнетика представляет собой фазу типа „наклонная легкая плоскость“, которая задается соотношением

$$\operatorname{tg} \theta = \frac{3}{4} \cos \varphi, \quad (4)$$

а ее ориентация определяется нормалью $\mathbf{n} = (0, 4/5, -3/5)$. Существование этой фазы возможно на линии $K_u = -\frac{9}{16} K_p$. Выполнение последнего соотношения (вполне достижимого для пленок ферритов-гранатов [2,8]), дает возможность зафиксировать с помощью (210)-ориентированной пленки сколь угодно малые поля, действующие на исходный образец. Данное свойство таких пленок может найти применение в высокочувствительных датчиках малых неоднородных полей.

Между фазами $P_{[001]}$ и $P_{[uv0]}$ на линии $K_p = 0$, $K_u < 0$ имеет место спин-переориентационный фазовый переход (СПФП) второго рода: переход вектора \mathbf{M} между данными состояниями происходит путем непрерывной спиновой переориентации. В то же время на линии $K_u = -\frac{9}{16} K_p$ ($K_p > 0$). Переход между фазами $P_{[001]}$ и $P_{[uv0]}$ также происходит непрерывно, но посредством двух СПФП второго рода через промежуточное состояние типа „легкая наклонная плоскость“. Это связано с тем, что вектор \mathbf{M} в обеих фазах при достижении линии

СПФП ($K_u = -\frac{9}{16} K_p$) лежит в плоскости, определяемой соотношением (4).

Следует отметить отсутствие в перечне найденных фаз симметричной фазы $P_{[210]}$ ($\theta = 0, \pi$; $\mathbf{M} \parallel [210]$), что связано с наличием в пленке с ориентацией (210) „скошенной ромбической анизотропии“ [2], описываемой третьим слагаемым в выражении (1). Кроме того, необходимо подчеркнуть, что полученные результаты согласуются с аналогичными исследованиями равновесных направлений вектора намагниченности \mathbf{M} , проведенными в [6,9] для случая $K_1 = 0$.

Теперь рассмотрим влияние кубической анизотропии на однородные магнитные состояния (210)-ориентированной пленки. В этом случае ($K_1 \neq 0$) ОФД рассматриваемого магнетика в переменных (α_1, α_2), где $\alpha_1 = K_1/|K_u|$, $\alpha_2 = K_p/|K_u|$, значительно усложняется (см. рис. 1, а, б): на ней наряду с симметричной ($P_{[001]}$) и угловой ($P_{[uv0]}$) фазами появляются новые, в частности, фаза общего вида $P_{[uvw]}$ ($\mathbf{M} \parallel [uvw]$). Следует отметить, что эти фазы отличаются друг от друга трансформационными свойствами: при изменении параметров материала (что может быть достигнуто действием внешних напряжений [10], либо термическим воздействием и т.д. [7]) вектор намагниченности \mathbf{M} в симметричной фазе, направленный вдоль одной из осей симметрии куба, не изменяет своей ориентации, в угловой фазе вектор \mathbf{M} изменяет свою ориентацию, оставаясь лежать в одной из плоскостей симметрии куба, в фазе общего вида вектор \mathbf{M} меняет свое направление так, что годограф вектора \mathbf{M} описывает на сфере радиуса M_s некруговую траекторию.

Симметричная фаза $P_{[001]}$ в отсутствие кубической анизотропии не возникает при $K_u > 0$, т.к. одноосная анизотропия типа „легкая ось“ препятствует возникновению любых равновесных направлений вектора \mathbf{M} , лежащих в плоскости пластины. Однако при $K_1 \neq 0$ возникает возможность того, что при $K_u > 0$ фаза $P_{[001]}$ может стать устойчивой: условия для ее существования появляются при больших величинах α_1 , когда $K_1 \gg K_u$ ($\alpha_1 > 20.14$; рис. 1, а). Этому благоприятствует тот факт, что при $K_1 > 0$ легкими осями кубической анизотропии являются оси типа $\langle 100 \rangle$.

Другой особенностью ОФД исследуемого магнетика при $K_1 \neq 0$ является возникновение множества угловых фаз типа $P_{[uvw]}$ как при $K_u > 0$ (рис. 1, а, б), так и при $K_u < 0$ (рис. 2). Они относятся к одной группе симметрии и отличаются лишь значениями угла θ . Между ними возможны СПФП первого рода, которые называют изоструктурными СПФП [11,12]. Линии таких переходов, как правило, заканчиваются в критических точках C_i ($i = 1, 2, \dots$), что имеет аналогию с термодинамической системой „жидкость–пар“, для которой кривая фазового равновесия при повышении температуры также заканчивается критической точкой: при температуре выше критической исчезают всякие различия между исходными фазами [13]. В частности, при $K_u > 0$

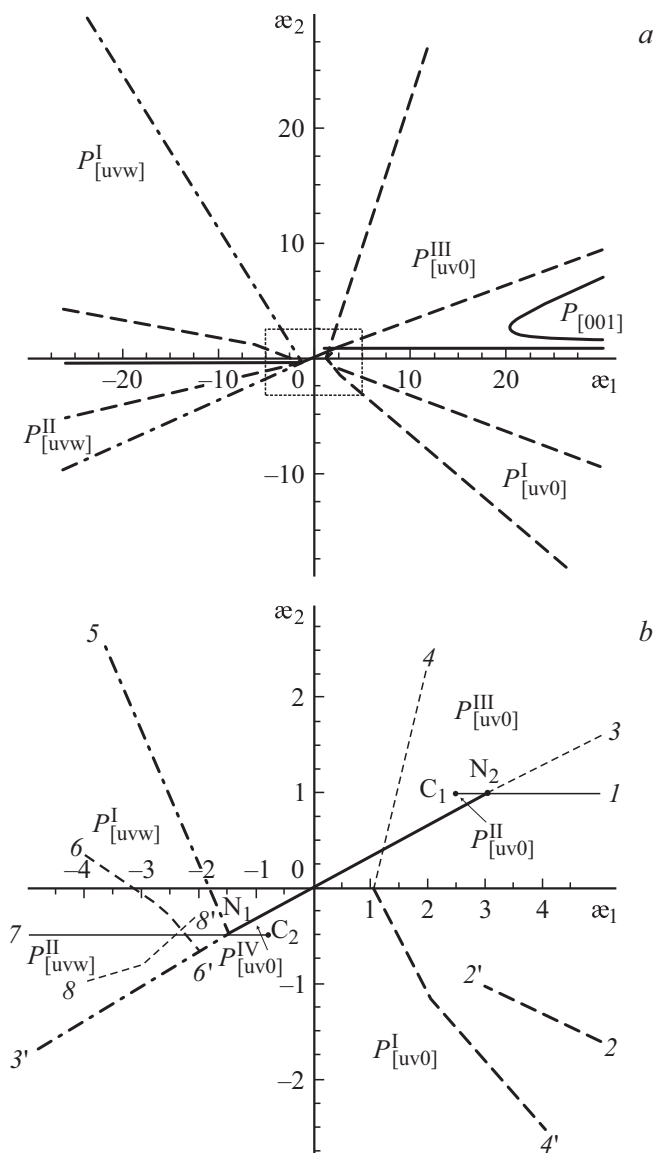


Рис. 1. ОФД (210)-ориентированной пластины ферритов-гранатов для значений $K_u > 0$. Здесь ОФД, соответствующая случаю (b), является увеличенной копией выделенного (пунктирной линией) участка на ОФД (a). Сплошные линии соответствуют линиям СПФП первого рода, штрихпунктирные — линиям СПФП второго рода, штриховые — границам устойчивости магнитных фаз.

(рис. 1, a, b) на участке C_1N_2 линии $1-C_1$ ($a_2 = 1$) происходит изоструктурный СПФП первого рода между фазами $P^{II}_{[uv0]}$ и $P^{III}_{[uv0]}$. Здесь $N_2 = (3; 1)$ — тройная точка, где сходятся границы областей существования трех фаз $P^I_{[uv0]}$, $P^{II}_{[uv0]}$ и $P^{III}_{[uv0]}$, а $C_1 = (2.5; 1)$ — критическая точка. Точно такая же ситуация имеет место на участке N_1C_2 прямой $7-C_2$ ($a_2 = -0.48$), который также является линией изоструктурного СПФП первого рода между двумя угловыми фазами $P^I_{[uv0]}$ и $P^{IV}_{[uv0]}$. В данном случае $N_1 = (-1.48; -0.48)$ — пятёрная точка, где сходятся границы областей существования пяти фаз: $P^I_{[uv0]}$, $P^{IV}_{[uv0]}$,

$P^{III}_{[uv0]}$, $P^I_{[uvw]}$ и $P^{II}_{[uvw]}$; $C_2 = (-0.87; -0.48)$ — критическая точка. Наличие пятёрной точки на ОФД пленки (210) находится в соответствии с правилом фаз Гиббса для исследуемой системы [14]. Кроме того, при $K_u > 0$ на ОФД (рис. 1, a, b) имеются также две фазы общего вида ($P^I_{[uvw]}$ и $P^{II}_{[uvw]}$), которые разделены между собой линией $7-N_1$ ($a_2 = -0.48$), являющийся линией СПФП первого рода между ними.

Следует отметить, что при $a_1 \leq 2.5$ полностью исчезают различия между угловыми фазами $P^{II}_{[uv0]}$ и $P^{III}_{[uv0]}$. Поэтому закритическую область ($a_1 < 2.5$), прилегающую к участку N_1N_2 линии $3-3'$, но расположенную выше нее, можно считать областью фазы $P^{II}_{[uv0]}$. Аналогичная ситуация имеет место и в закритической области ($a_2 > -0.48$) изоструктурного СПФП первого рода между фазами $P^I_{[uv0]}$ и $P^{IV}_{[uv0]}$; здесь переход между ними происходит непрерывно. А область, расположенную вблизи, но ниже участка N_1N_2 , можно считать областью существования фазы $P^{IV}_{[uv0]}$. В этом случае участок N_1N_2 будет являться линией СПФП первого рода между фазами $P^{II}_{[uv0]}$ и $P^{IV}_{[uv0]}$. Соответственно на линии $5-N_1$ имеет место СПФП второго рода между фазами $P^I_{[uvw]}$ и $P^{IV}_{[uv0]}$, а на линии $3'-N_1$ — СПФП второго рода между $P^{II}_{[uvw]}$ и $P^I_{[uv0]}$.

При $K_u < 0$ ОФД исследуемой пленки не меняется существенным образом (рис. 2). В этом случае симметричная фаза $P_{[001]}$ в основном устойчива при $a_1 > 0$, как и должно быть, однако к сказанному выше насчет условий устойчивости данной фазы в области $a_1 > 0$ добавляется еще один фактор, благоприятствующий фазе $P_{[001]}$: при $K_u < 0$ одноосная анизотропия становится легкоплоскостной. Данный фактор позволяет существовать симметричной фазе $P_{[001]}$ и при некоторых отрицательных значениях a_1 . Если термодинамический

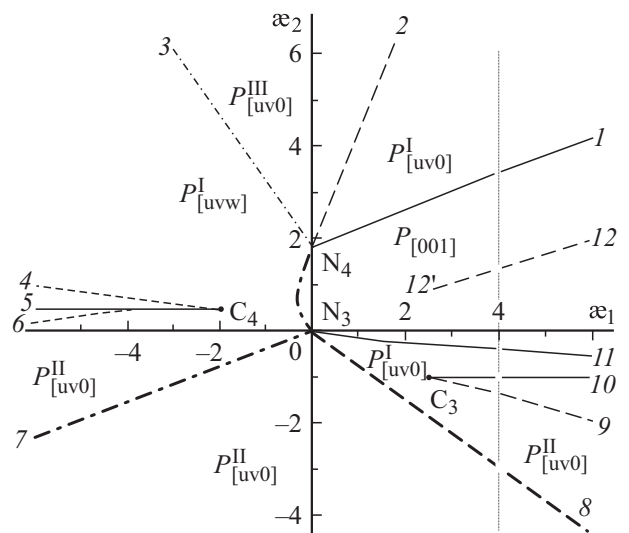


Рис. 2. ОФД пластины (210) для значений $K_u < 0$. Обозначения кривых те же, что и на рис. 1 (a, b).

путь, вдоль которого можно отслеживать переход системы из одного состояния в другое, выбрать совпадающим с линией $\alpha_1 = a$ ($a > 2.5$) то, двигаясь вдоль нее в сторону возрастающих значений α_2 , рассматриваемая магнитная система будет переходить из фазы $P_{[uv0]}^I$ в фазу $P_{[uv0]}^{II}$, потом из фазы $P_{[uv0]}^I$ в фазу $P_{[001]}$, а затем — из фазы $P_{[001]}$ в фазу $P_{[uvw]}^{III}$ (рис. 2). При этом линии $IO-C_3$, $II-N_3$ и $I-N_4$ будут являться линиями СПФП первого рода, соответственно между фазами $P_{[uv0]}^{II}$ и $P_{[uv0]}^I$, $P_{[uv0]}^I$ и $P_{[001]}$, а также $P_{[001]}$ и $P_{[uvw]}^{III}$. Подобная ситуация имела место при $K_u > 0$, однако при $K_u < 0$ и $\alpha_1 < 0$ симметричная фаза $P_{[001]}$ на участке N_3N_4 переходит в фазу общего вида посредством СПФП второго рода, что не имеет аналогии в случае $K_u > 0$. Здесь $N_3 = (0; 0)$ и $N_4 = (0; 1.78)$ — тройные точки, где сходятся соответственно фазы $P_{[001]}$, $P_{[uv0]}^I$ и $P_{[uvw]}^{III}$, а также $P_{[001]}$, $P_{[uv0]}^I$ и $P_{[uvw]}^{II}$.

В области, лежащей между прямыми $3-N_4$, $7-N_3$ и отрезком N_3N_4 , которые являются линиями СПФП второго рода, устойчива фаза общего вида. При этом на линиях $3-N_4$ и $7-N_3$ имеет место непрерывные переходы между фазами соответственно, $P_{[uv0]}^{II}$ и $P_{[uvw]}^I$, $P_{[uv0]}^{II}$ и $P_{[uvw]}^I$, а на участке N_3N_4 — между фазами $P_{[uvw]}^I$ и $P_{[001]}$. При $\alpha_1 < -2$ область существования фазы $P_{[uvw]}^I$ превращается в две области, разделенные прямой $5-C_4$. Последняя является линией изоструктурного СПФП первого рода между фазами $P_{[uvw]}^I$ и $P_{[uvw]}^{II}$, которые и существуют в вышеупомянутых областях. Эти фазы представляют собой (по симметрии) фазы общего вида и различаются лишь значениями углов θ и φ . В закритической области (определяемой неравенством $\alpha_1 > -2$ и расположенная справа от критической точки $C_4 = (-2; 0.47)$), переход между ними происходит непрерывно, т.е. они фактически сливаются в одну фазу — фазу общего вида ($\mathbf{M} \parallel [uvw]$). Аналогичная ситуация имеется и в области, заключенной между линиями $7-N_3$ и $II-N_3$ ($\alpha_2 < 0$), где устойчива угловая фаза ($\mathbf{M} \parallel [uv0]$). Эта область при $\alpha_1 > 2.5$ также переходит в две подобласти, разделенные прямой $IO-C_3$ ($\alpha_2 < -1$), являющейся линией изоструктурного СПФП первого рода между фазами $P_{[uv0]}^I$ и $P_{[uv0]}^{II}$. В данном случае в области, расположенной выше линии $IO-C_3$, ($\alpha_2 < -1$) устойчива фаза $P_{[uv0]}^I$, а ниже вышеуказанной линии ($\alpha_2 < -1$) — фаза $P_{[uv0]}^{II}$, а точка $C_3 = (2.5; -1)$ соответственно является критической точкой изоструктурного СПФП первого рода между этими фазами. В закритической области ($\alpha_2 < 2.5$) переход между ними происходит непрерывно, т.к. различие между фазами $P_{[uv0]}^I$ и $P_{[uv0]}^{II}$ исчезает.

Следует отметить одну характерную особенность ОФД рассматриваемого магнетика, имеющую место как при $K_u > 0$, так и при $K_u < 0$: между симметричной ($P_{[001]}$) и угловой ($P_{[uv0]}$) фазами возможны только СПФП первого рода, а между угловой и фазой общего вида — СПФП как первого, так и второго рода. Это

объясняется тем, что вектор \mathbf{M} в угловой фазе при изменении параметров материала всегда лежит в плоскости, перпендикулярной оси $[001]$. Поэтому возможен только скачкообразный переход $P_{[uv0]} \leftrightarrow P_{[001]}$.

Как видно из приведенного анализа, топология ОФД (210)-ориентированной пластины является достаточно сложной: на ней имеется множество угловых фаз, которые могут перейти друг в друга посредством СПФП первого рода. Соответствующие линии перехода обрываются в критической точке. Такая же ситуация имеет место и для фаз общего вида ($\mathbf{M} \parallel [uvw]$), между которыми также может произойти изоструктурный СПФП первого рода. Кроме того, на ОФД присутствуют тройные и пятерные точки и т.д.

Очевидно, такой характер ОФД пленки (210) обусловлен выбранным направлением индуцирования одноосной анизотропии (вдоль оси $[210]$), которое не совпадает ни с одной осью симметрии куба и приводит к разложению наведенной одноосной анизотропии на несколько составляющих. Соответственно равновесное направление вектора намагниченности \mathbf{M} находится под конкурирующим влиянием сразу нескольких анизотропий различной симметрии: перпендикулярной, ромбической, „скошенной“ ромбической и кубической. В результате магнитная симметрия пленки является достаточно низкой; в ней имеется лишь один элемент — плоскость отражения σ_v , которая совпадает с плоскостью (001) . Именно поэтому на ОФД магнетика имеется всего лишь одна симметричная фаза $P_{[001]}$, а в угловых фазах изменение ориентации вектора \mathbf{M} происходит только в плоскости (001) . Нетрудно предположить, что магнитные неоднородности, возможные в изучаемом магнетике, будут также иметь нетривиальную структуру.

3. Возможные микромагнитные структуры

При рассмотрении неоднородных состояний примем, что в системе координат, введенной ранее, ось Oy совпадает с направлением, вдоль которого магнетик неоднороден. Тогда энергию магнитных неоднородностей, взятую с учетом обменного взаимодействия A , энергии магнитной анизотропии ϵ_{ma} , магнитостатической энергии объемных зарядов, локализованной в ДГ [15,16], и за вычетом энергии однородных состояний ϵ_0 , запишем в виде

$$E = \int \left\{ A \left[\left(\frac{d\theta}{dy} \right)^2 + \sin^2 \theta \left(\frac{d\varphi}{dy} \right)^2 \right] + \epsilon_{ma} + 2\pi M_s^2 \times (\sin \theta \sin \varphi - \sin \theta_m \sin \varphi_m)^2 - \epsilon_0 \right\} dy, \quad (5)$$

где θ_m , φ_m — значения углов, определяющих вектор \mathbf{M} ($\theta_m = \theta(y \rightarrow \infty)$), $\varphi_m = \varphi(y \rightarrow \infty)$ $\epsilon_0 = \epsilon_{ma}(y \rightarrow \infty)$. Здесь предполагается, что пластина является достаточно

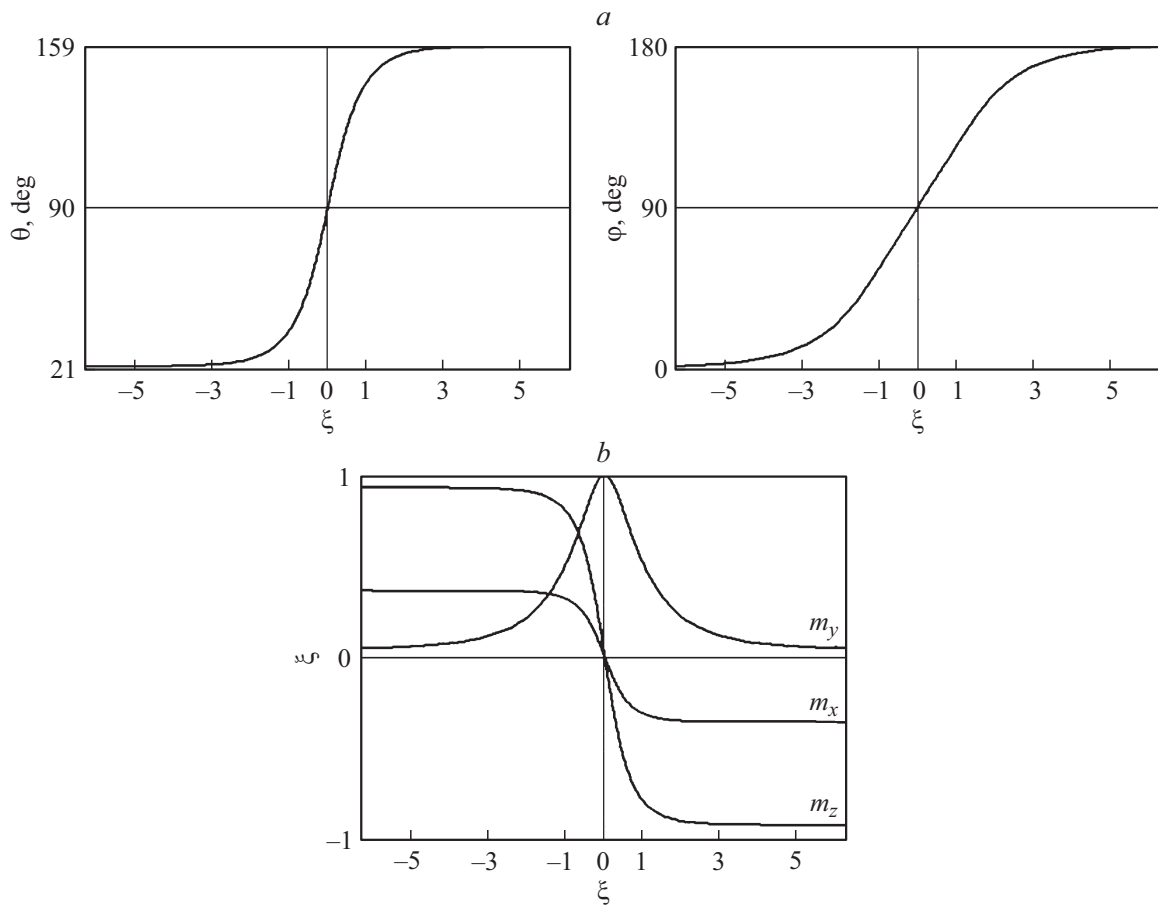


Рис. 3. Зависимости угловых переменных θ и φ (а) единичного вектора $\mathbf{m} = \mathbf{M}/M_s$ и его компонент m_x, m_y, m_z (б) от переменной ξ , иллюстрирующие распределение намагниченности в 180° -ДГ при следующих значениях материальных параметров: $\kappa_1 = -2, \kappa_2 = 2, Q = 5, K_u > 0$.

толстой, и можно пренебречь влиянием размагничивающих полей, создаваемых поверхностными зарядами.

Уравнения Эйлера–Лагранжа, описывающие структуру магнитных неоднородностей, возможных в данном магнетике, после перехода к безразмерным величинам примут вид

$$\frac{d^2\theta}{d\xi^2} - \sin\theta \cos\theta \left(\frac{d\varphi}{d\xi}\right)^2 = \frac{\partial f(\theta, \varphi)}{\partial \theta}, \quad (6)$$

$$2A \frac{d}{d\xi} \left(\sin^2\theta \frac{d\varphi}{d\xi} \right) = \frac{\partial f(\theta, \varphi)}{\partial \varphi},$$

где $\xi = y/\Delta_0, \Delta_0 = \sqrt{A/K_u}$ — характерный размер магнитных неоднородностей [15], $f(\theta, \varphi)$ определяется выражением

$$f(\theta, \varphi) = (\varepsilon_{ma} - \varepsilon_0)/2K_u + (2Q)^{-1} (\sin\theta \sin\varphi - \sin\theta_m \sin\varphi_m)^2, \quad (7)$$

$Q = K_u/2\pi M_s^2$ — фактор качества материала.

Для нахождения решений уравнений (6) необходимо задать граничные условия, которые, исходя из симметрии магнетика, можно записать в виде

рии магнетика, можно записать в виде

$$\begin{aligned} \theta(\xi \rightarrow -\infty) &= \theta_0, & \theta(\xi \rightarrow +\infty) &= \pi - \theta_0, \\ \varphi(\xi \rightarrow -\infty) &= \varphi_0, & \varphi(\xi \rightarrow +\infty) &= \varphi_0 + \pi, \end{aligned} \quad (8)$$

где θ_0, φ_0 — решения уравнений (2) при выполнении соотношений (3). Как видно из (8), они соответствуют 180° -градусной ДГ (180° -ДГ).

Очевидно, уравнения системы (6) представляют собой нелинейные дифференциальные уравнения второго порядка, которые из-за низкой симметрии исследуемого магнетика с энергией, описываемой выражением (5), могут быть решены только численными методами. В основу численной реализации нахождения решений системы (6) была положена методика, рассмотренная в работе [17]. Суть ее в следующем: вначале система (6) путем преобразования бесконечного интервала по координате ξ к интервалу $[-1, 1]$ по формуле $\eta = (2/\pi) \arctg \xi$ с последующей заменой дифференциальных операторов конечными разностями (методом дискретизации) сводится к системе трансцендентных уравнений относительно искомым значений углов θ, φ в узлах сетки, а затем последняя решается численно с помощью итерационных вычислений, с использованием метода верхней

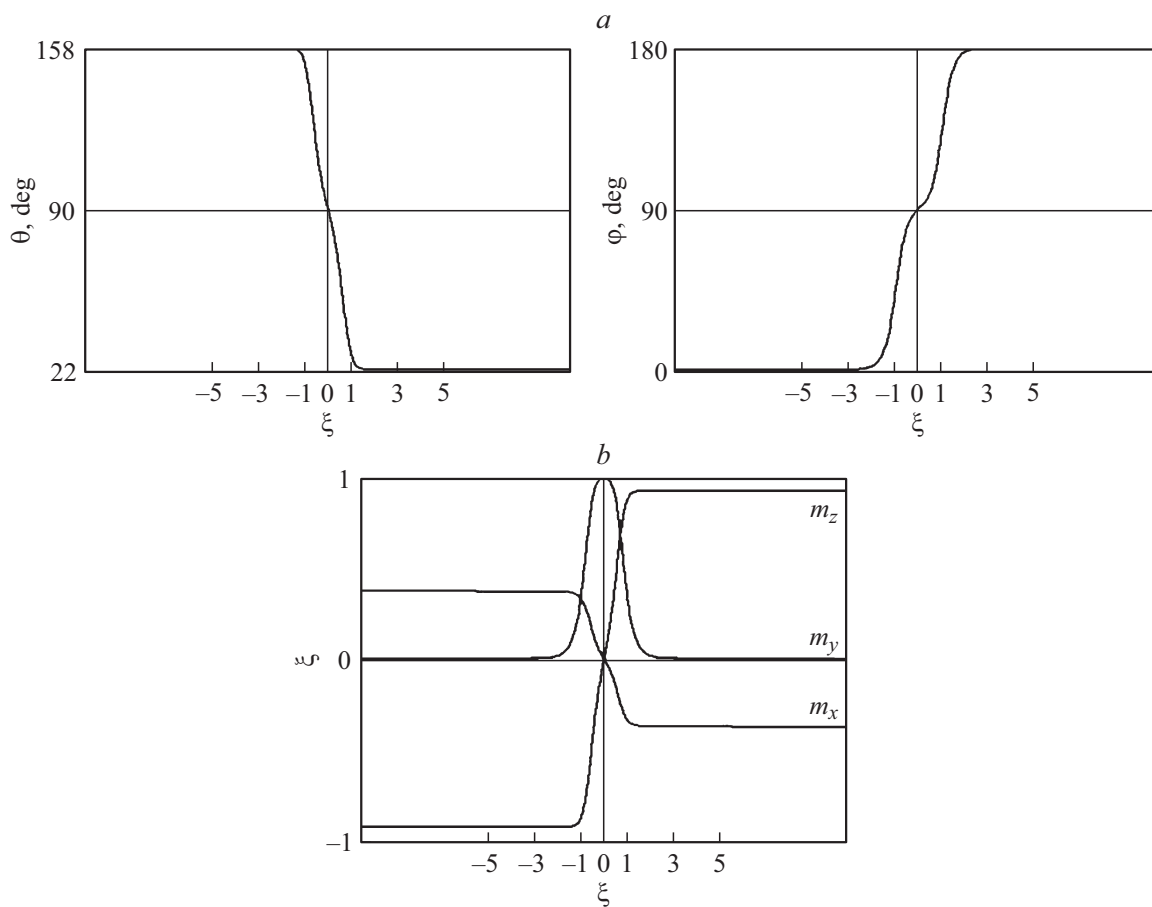


Рис. 4. Структура 180°-ДГ для значений параметров $\alpha_1 = 12$, $\alpha_2 = 2$, $Q = 5$, $K_u > 0$, представленная в виде графиков зависимостей аналогично рис. 3.

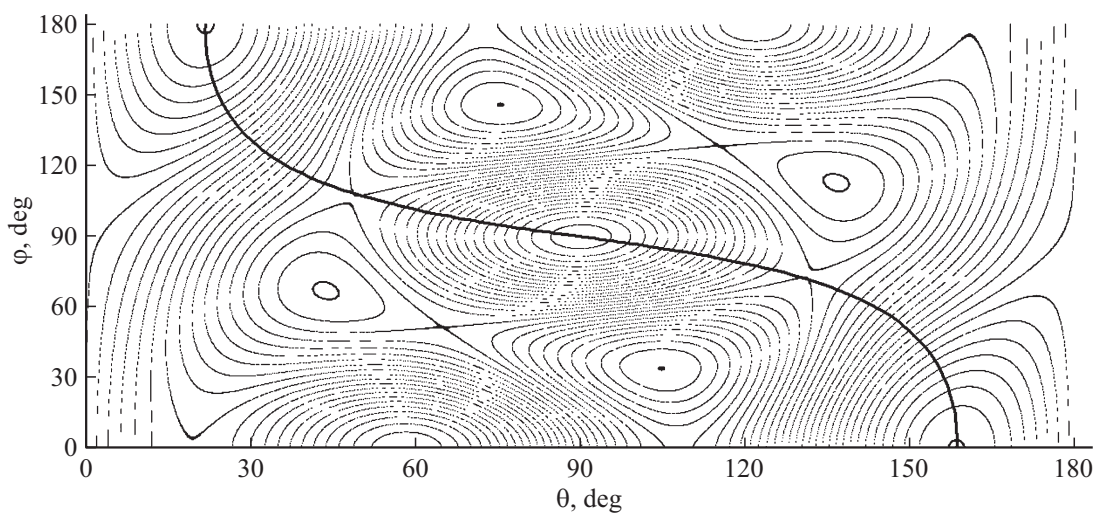


Рис. 5. Изолинии функции $f(\theta, \varphi)$, на котором изображена траектория вектора намагниченности \mathbf{m} ; ей соответствует структура 180°-ДГ, представленная на рис. 4.

релаксации [18]. Полученные таким образом численные решения сопоставлялись с траекторией вектора намагниченности \mathbf{m} на поверхности единичной сферы, наложенной на изолинии функции $f(\theta, \varphi)$. Последняя

представляет собой приведенную к величине K_u [15,17] часть плотности энергии изучаемого магнетика.

Рассмотрим вначале область значений $K_u > 0$, которой соответствует ОФД на рис. 1 (a, b). Для анализа воз-

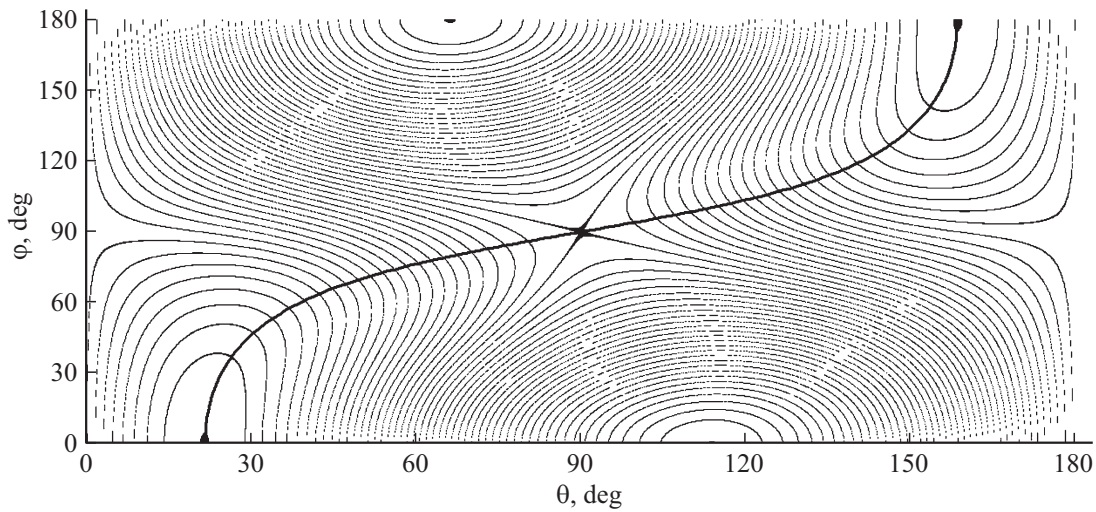


Рис. 6. Изолинии функции $f(\theta, \varphi)$ для значений параметров $\alpha_1 = -1, \alpha_2 = 2, Q = 5, K_u > 0$ (аналогично рис. 5) и траектория вектора намагниченности \mathbf{m} .

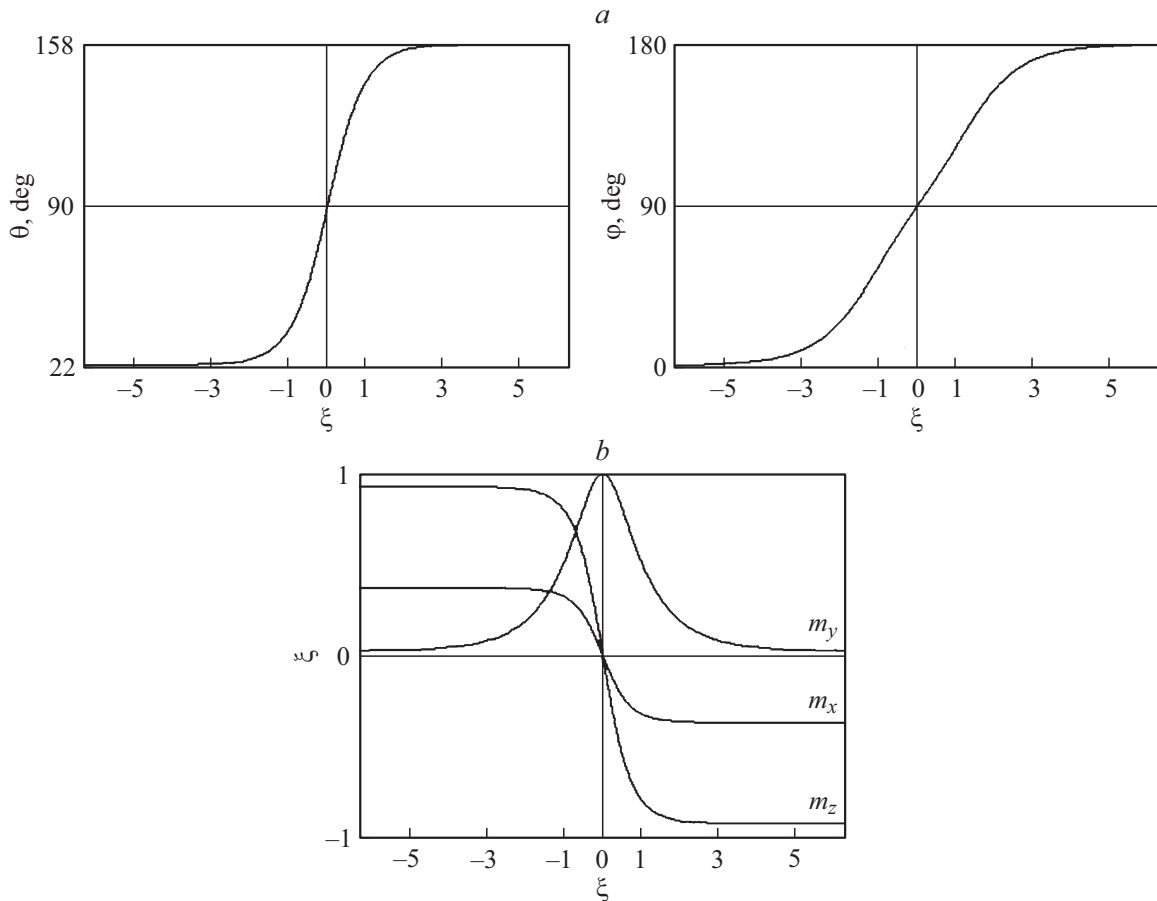


Рис. 7. Структура 180° -ДГ для значений параметров $\alpha_1 = -4, \alpha_2 = 2, Q = 5, K_u > 0$, представленная аналогично рис. 3.

можных типов ДГ в исследуемом случае удобно выбрать значения параметров α_1, α_2 , таким образом, чтобы они на ОФД лежали на некоторой (заранее выбранной) линии (термодинамический путь). Для определенности термодинамический путь выберем вдоль линии $\alpha_2 = 2$.

Тогда для значений параметров $\alpha_1 = -2, \alpha_2 = 2$, при которых устойчива угловая фаза $P_{[uv]0}$, решение уравнений (6) будет соответствовать 180° -ДГ с неблоховским распределением намагниченности \mathbf{M} (рис. 3), т. е. с выходом намагниченности из плоскости вращения магнитных

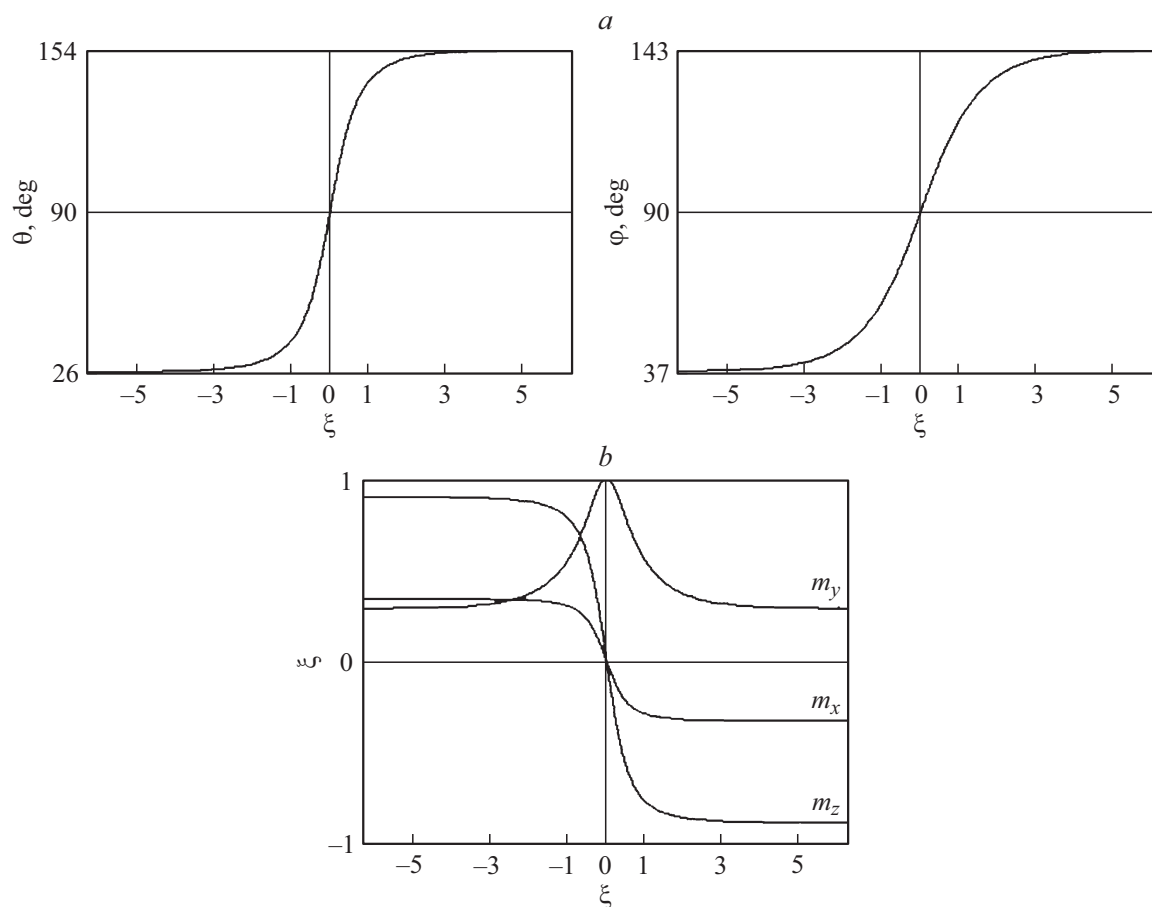


Рис. 8. Структура 180° -ДГ при значении параметров $\varkappa_1 = 4$, $\varkappa_2 = -1.1$, $Q = 5$, $K_u < 0$.

моментов ($\text{div}\mathbf{M} = 0$). Если рассмотреть точку на этой линии с координатами $\varkappa_1 = 12$, $\varkappa_2 = 2$, то для данных значений параметров будет иметь место квазиблоховская 180° -ДГ с перетяжкой (рис. 4). Здесь под перетяжкой понимается участок в профиле ДГ, на котором зависимости $\theta = \theta(y)$ и $\varphi = \varphi(y)$ имеют три точки перегиба [19]. Такая ситуация возможна, если в плоскости вращения магнитных моментов имеется направление, которому соответствует метастабильная магнитная фаза. В данном случае такой метастабильной фазой является $P_{[001]}$; вблизи оси $[001]$ происходит задержка вращения магнитных моментов, что приводит к образованию перетяжки. Как показывают исследования [7,19], перетяжка является зародышем новой фазы (стеночный механизм зародышеобразования). При приближении магнетика к точке СПФП первого рода перетяжка неограниченно разрастается, способствуя безгистерезисному СПФП магнетика из одного состояния в другое. На рис. 5, видно, что на картине изолиний точке с $\theta = \pi/2$, $\varphi = \pi/2$ соответствует особая точка типа „центр“ [20]. Если двигаться на ОФД вдоль выбранного термодинамического пути, то при значениях параметров $\varkappa_1 = -1$, $\varkappa_2 = 2$ точке $\theta = \pi/2$, $\varphi = \pi/2$ будет соответствовать особая точка типа „седло“ (рис. 6). Анализ показывает, что в этом случае только на графике зависимости $\varphi = \varphi(\xi)$

будет иметь место перетяжка, а на графике $\theta = \theta(y)$ — нет. В данной ситуации область ориентаций магнитных моментов вблизи направления \mathbf{M} с $\theta = \pi/2$, $\varphi = \pi/2$ уже не будет являться зародышем новой фазы.

Если на ОФД (рис. 1, *a, b*) двигаться дальше вдоль термодинамического пути $\varkappa_2 = 2$ в сторону отрицательных значений параметра \varkappa_1 , то можно попасть в область, ограниченную линиями $5-N_1$ и $7-N_1$, с точкой их пересечения в N_1 . Здесь устойчива фаза общего вида $P_{[uvw]}^I$; доменная стенка, соответствующая этой фазе для значений $\varkappa_1 = -4$, $\varkappa_2 = 2$ также будет являться 180° -ДГ с некруговой траекторией вектора намагниченности (рис. 7).

При $K_u < 0$ качественная картина микромагнитных структур, возможных в этом случае, существенно не меняется. В частности, это наглядно видно на примере, рассмотренном ранее, когда изменения состояния магнетика можно рассматривать вдоль термодинамического пути, определяемого линией $\varkappa_1 = 4$ (пунктирная линия на рис. 2). В данном случае магнетик претерпевает ряд магнитных превращений, попеременно находясь в состояниях, соответствующих то угловой фазе (фазы $P_{[uv0]}^I$ и $P_{[uv0]}^I$), то симметричной фазе $P_{[001]}$, то опять угловой фазе ($P_{[uv0]}^III$). Анализ системы уравнений (6)

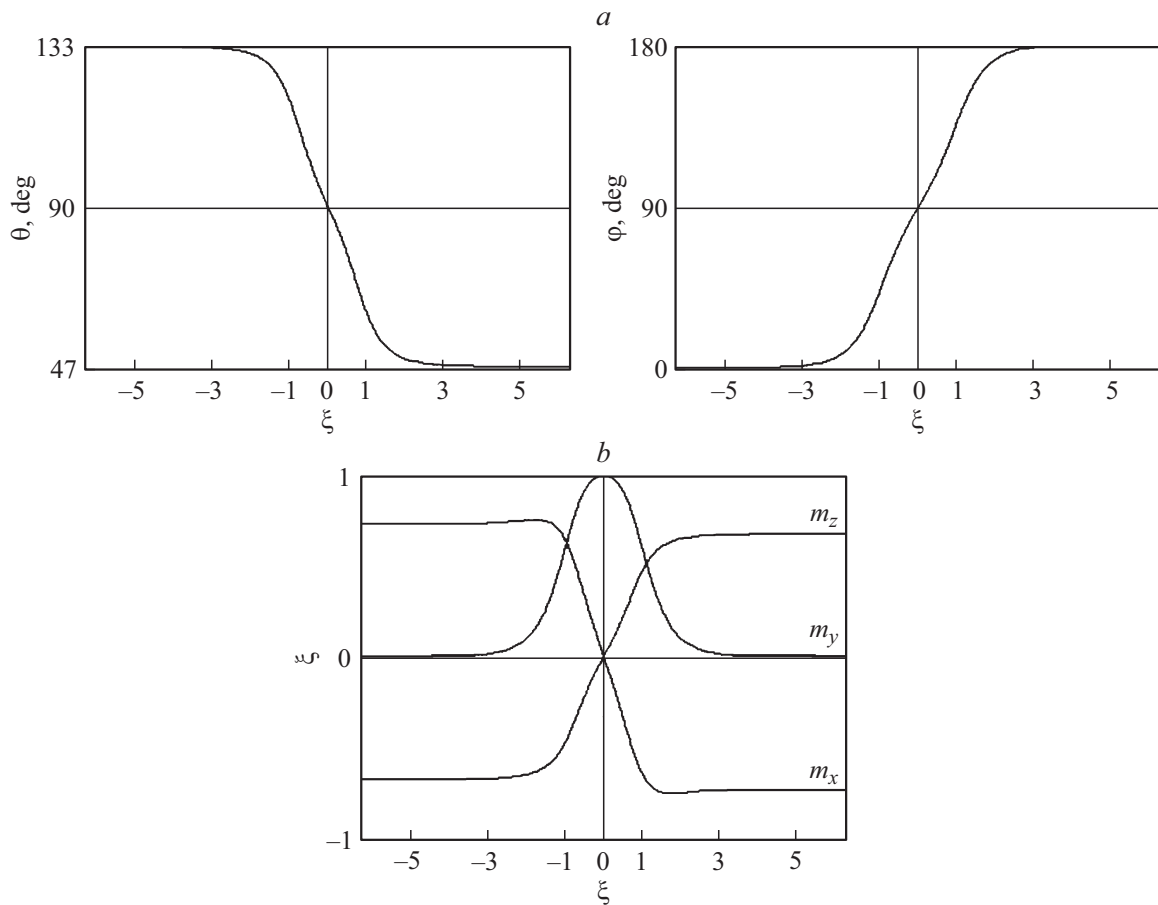


Рис. 9. Структура 180°-ДГ при значениях параметров $\alpha_1 = 4$, $\alpha_2 = 1$, $Q = 5$, $K_u < 0$.

показывает, что в области значений параметров, соответствующих угловым фазам $P_{[uv0]}^I$, $P_{[uv0]}^{II}$, $P_{[uv0]}^{III}$ (рис. 2), имеют место решения, отвечающие 180°-ДГ с некруговой траекторией вектора намагниченности \mathbf{M} . Характерной особенностью данных неоднородностей является наличие перетяжек в их структуре (как и в случае $K_u > 0$, рис. 4), что обусловлено наличием в плоскости вращения магнитных моментов оси $[001]$, которая в областях на ОФД (рис. 2), ограниченных прямыми $I-N_4$ и $2-N_4$ (с точкой их пересечения в N_4), а также прямыми $8-N_3$ и $11-N_4$ (с точкой их пересечения в начале координат), соответствует метастабильной фазе. В случае, когда термодинамический путь, пересекая линию $2-N_4$, уходит в область выше нее, или когда он уходит ниже линии $8-N_3$ (т.е. выходит за пределы области существования симметричной фазы $P_{[001]}$), то данная перетяжка в структуре 180°-ДГ исчезает. Следует отметить, что в области на ОФД, лежащей между линиями 9 и 10 (с точкой их пересечения в C_3), фаза $P_{[uv0]}^I$ является также метастабильной, однако соответствующая ей ось не лежит в плоскости вращения спинов в 180°-ДГ (рис. 8). Поэтому последняя не содержит перетяжки, отвечающей этой оси, а имеет лишь одну перетяжку, отвечающую оси $[001]$.

В области, ограниченной прямыми $1-N_4$, $8-N_3$ и кривой N_3N_4 , является устойчивой симметричная фаза $P_{[001]}$. Для значений параметров $\alpha_1 = 4$, $\alpha_2 = 1$, соответствующих тоже в этой области, решение уравнений (6) описывает магнитную неоднородность, представленную на рис. 9. В данном случае она соответствует 180°-ДГ с некруговой траекторией намагниченности. Ее структура такова, что относительно функции $\theta = \theta(y)$ ее можно отнести к 0°-ДГ, а относительно $\varphi = \varphi(y)$ — к 180°-ДГ. Учитывая, что направления \mathbf{M} в соседних доменах противоположны ($\mathbf{M}_1 \parallel [001]$, $\mathbf{M}_2 \parallel [00\bar{1}]$), то ДГ в общем случае является 180-градусной. Дальнейший анализ системы уравнений, проведенный в соответствии с данными ОФД, не дает новых решений, качественно отличающихся от полученных ранее. Это позволяет утверждать, что найденные типы магнитных неоднородностей дают полную картину микромагнитных структур, возможных в рассматриваемом магнетике.

4. Выводы

Таким образом, проведенные исследования показывают, что (210)-ориентированная пластина ферритов-

гранатов является достаточно сложным объектом для изучения ее магнитных состояний, что обусловлено низкой симметрией магнитной системы. В ней возможны три вида магнитных фаз, различающихся трансформационными свойствами: симметричная ($P_{[001]}$), угловая ($P_{[uv0]}$) и пространственная ($P_{[uvw]}$) фазы. Между первыми двумя фазами могут иметь место только СПФП первого рода, а между двумя последними фазами — СПФП как первого, так и второго рода. Кроме того, в области существования низкосимметричных фаз возможны изоструктурные СПФП первого рода. Неоднородные магнитные состояния магнетика также обладают рядом особенностей, однако характерной их чертой является выход намагниченности из плоскости стенки, т.е. ДГ, возможные в пластине (210), всегда имеют неблоховскую структуру. По этому признаку изучаемый магнетик существенно отличается от (011)- и (111)-ориентированных пластин ферритов-гранатов [17,21], в которых 180°-ДГ с некруговой траекторией вектора намагниченности могут существовать не при всех значениях параметров материала, а лишь при определенных их значениях. Последнее, возможно, и является причиной, объясняющей особенности проявления МЭ в феррит-гранатовых пленках с разной ориентацией развитой поверхности, обнаруженные в [4].

В заключение авторы выражают признательность доценту кафедры теоретической физики В.В. Плавскому за ценные замечания и советы.

Список литературы

- [1] В.В. Рандошкин, В.И. Чани, М.В. Логунов, Ю.А. Сажин, В.П. Клиш, Б.П. Нам, А.Г. Соловьев, А.Я. Червоненкис. Письма в ЖТФ **15**, 42 (1989).
- [2] I. Nistor, C. Holthaus, S. Tkachuk. J. Appl. Phys. **101**, 09C526 (2007).
- [3] Б.Б. Кричевцов, В.В. Павлов, Р.В. Писарев. Письма в ЖЭТФ **49**, 466 (1989).
- [4] A.S. Logginov, G.A. Meshkov, A.V. Nikolaev, E.P. Nikolaeva, A.P. Ryatakov. Appl. Phys. Lett. **93**, 182510 (2008).
- [5] А.П. Пятаков, А.С. Сергеев, Е.П. Николаева, Т.Б. Косых, А.В. Николаев, К.А. Звездин, А.К. Звездин. УФН **185**, 1077 (2015).
- [6] А.Ф. Кабыченков, Ф.В. Лисовский, Е.Г. Мансветова. Письма в ЖЭТФ **97**, 304 (2013).
- [7] К.П. Белов, А.К. Звездин, А.М. Кадомцева, Р.З. Левитин. Ориентационные переходы в редкоземельных магнетиках. Наука, М. (1979). 320 с.
- [8] S. Tkachuk, D. Bowen, C. Krafft, I.D. Mayergoyz. J. Appl. Phys. **105**, 07A524 (2009).
- [9] Г.В. Арзамасцева, А.М. Балбашов, Ф.В. Лисовский, Е.Г. Мансветова, А.Г. Темирязов, М.П. Темиряева. ЖЭТФ **147**, 793 (2015).
- [10] В.А. Бородин, В.Д. Дорошев, Т.Н. Тарасенко. ФТТ **27**, 583 (1985).
- [11] Ю.М. Гуфан. Структурные фазовые переходы. Наука, М. (1982). 304 с.
- [12] В.Д. Бучельников, С.В. Таскаев, В.С. Романов, Р.М. Вахитов. ФММ **94**, 14 (2002).
- [13] Л.Д. Ландау, И.М. Лифшиц. Статистическая физика. Ч. 1. Наука, М. (1995). 608 с.
- [14] Р.М. Вахитов. ФММ **89**, 16 (2000).
- [15] A. Hubert, R. Schafer. Magnetic domains. Springer-Verlag, Berlin (2007). 696 p.
- [16] Е.Б. Магадеев, Р.М. Вахитов. ТМФ **171**, 511 (2012).
- [17] В.В. Плавский, М.А. Шамсутдинов, Б.Н. Филиппов. ФММ **88**, 22 (1999).
- [18] А.А. Самарский, А.В. Гулин. Численные методы. Наука, М. (1989). 432 с.
- [19] Р.М. Вахитов, А.Р. Юмагузин. ФТТ **43**, 65 (2001).
- [20] Н.В. Карлов, Н.А. Кириченко. Колебания, волны, структуры. Физматлит, М. (2001). 496 с.
- [21] Р.М. Вахитов, Е.Г. Шанина. ЖТФ **73**, 67 (2003).